

## مدل‌سازی سه‌بعدی مقاومت صوتی با استفاده از روش شبیه‌سازی نوارهای دوار در یکی از میدان‌های جنوب غربی

مهدی صادقی<sup>۱</sup>، نوید امینی<sup>۲\*</sup>، رضا فلاحت<sup>۳</sup>، ناصر مدنی<sup>۴</sup> و حمید ثابتی<sup>۵</sup>

<sup>۱</sup> دانشجوی دکتری، مؤسسه ژئوفیزیک دانشگاه تهران، تهران، ایران

<sup>۲</sup> محقق، کوکولینک (زیر مجموعه دانشگاه ملی سئول)، کره جنوبی

<sup>۳</sup> استادیار، دانشکده مهندسی نفت دانشگاه صنعتی سهند تبریز، تبریز، ایران

<sup>۴</sup> استادیار، دانشکده معدن و علوم زمین، دانشگاه نظریابی، تورسلطان، قرقستان

<sup>۵</sup> استادیار، دانشکده معدن دانشگاه صنعتی بیرجند، بیرجند، ایران

(دریافت: ۱۳۹۹/۰۸/۲۲، پذیرش: ۱۳۹۹/۱۱/۰۲)

### چکیده

روش‌های شبیه‌سازی تصادفی زمین‌آماری، امکان تولید مدل‌های دو یا سه بعدی و پیچگی‌های مخزنی را با استفاده از داده‌های موجود در محل چاهها فراهم می‌کنند. در این تحقیق، مدل‌سازی سه‌بعدی مقاومت صوتی با استفاده از روش زمین‌آماری شبیه‌سازی نوارهای دوار (TBSim) انجام شده است. اساس روش نوارهای دوار، ساده‌سازی فرایند شبیه‌سازی زمین‌آماری یک مسئله در فضای دو یا سه بعدی به مجموعه‌ای از شبیه‌سازی‌های یک‌بعدی در راستای تعدادی خلط‌وطی با استفاده از توابع سینوسی است. روش نوارهای دوار روشن سریع و قدرتمند است و خصوصیات زمین‌آماری را با دقت زیادی بازتولید می‌کند. در مطالعه حاضر، جهت تولید مدل‌های سه‌بعدی مقاومت صوتی در یکی از میدان‌های نفتی جنوب غربی ایران، از این روش استفاده و با نتایج وارون‌سازی لرزه‌ای مقایسه شده است. داده‌های مورد استفاده در این روش شامل نگارهای مقاومت صوتی هفت چاه این میدان است که یکی از چاه‌ها جهت بررسی میزان درستی و دقت نتایج از محاسبات کنار گذاشته شده است. نتایج حکایت از همبستگی زیاد مقادیر مدل‌سازی شده با داده‌های واقعی مقاومت صوتی در محل چاه آزمایش و نیز مدل حاصل از وارون‌سازی لرزه‌ای دارد. همچنین بررسی و مقایسه بافت‌نگار نتایج با بافت‌نگارهای داده‌های واقعی و بافت‌نگار مدل وارون‌سازی لرزه‌ای، نشان از توانایی این روش در بازتولید و پیچگی‌های آماری داده‌ها دارد. به علاوه، نتایج تحلیل عدم قطعیت مدل‌های تولید شده تأییدی بر مطمئن بودن این مدل‌ها به ویژه در محل چاه آزمایش است.

**واژه‌های کلیدی:** مدل‌سازی مقاومت صوتی، شبیه‌سازی نوارهای دوار، شبیه‌سازی زمین‌آماری، واریوگرام

## ۱ مقدمه

می‌کنند که احتمالاً بهترین پاسخ ممکن است، اما امکان محاسبات عدم قطعیت را فراهم نمی‌کنند. این روش‌ها به علت ماهیت میانگین‌گیری و درون‌یابی، پاسخی هموار شده تولید می‌کنند؛ بنابراین اغلب، پدیده‌های ریز مقیاس را باز تولید نمی‌کنند. شناخته‌شده‌ترین روش تخمین در علم زمین‌آمار، کریجینگ نامیده می‌شود. عملگر کریجینگ که در زمرة روش‌های قطعی دسته‌بندی می‌شود، جهت تخمین مقدار یک ویژگی در یک نقطه، اوزان متناسبی بر اساستابع واریوگرام به نقاط موجود دارای آن ویژگی نسبت می‌دهد. روش‌های شبیه‌سازی تصادفی زمین‌آماری- که در ادامه به اختصار، شبیه‌سازی زمین‌آماری نامیده می‌شوند- مجموعه‌ای از پاسخ‌های ممکن یا تحقیق‌ها (realizations) را تولید می‌کنند که همگی با داده‌های موجود سازگار هستند. پاسخ‌های مذکور می‌توانند بسیار مشابه باشند، اما هرگز یکسان نیستند و هر کدام از آنها به یک اندازه محتمل هستند و تغییرات خصوصیات پتروفیزیکی را نشان می‌دهند. تحقیق‌های متعدد، امکان بررسی تغییرات و ناهمگونی‌های زمین‌شناسی را با تولید نقشه‌های احتمالاتی و حجمی ویژگی‌های پتروفیزیکی یا رخساره‌ها فراهم می‌کنند؛ بنابراین در توصیف مخازن هیدروکربوری و تهیه مدل‌های سه‌بعدی از آن بسیار کارآمد هستند (فرانسیس، ۲۰۰۶).

امروزه استفاده از ابزارهای شبیه‌سازی زمین‌آماری مناسب جهت تولید مدل‌های مطمئن از خصوصیات زیرسطحی چالش برانگیز است. روش شبیه‌سازی گوسی متوالی (Sequential Gaussian Simulation) یا به اختصار، SGS (دوچ و جورنل، ۱۹۹۸؛ نوسیمر، ۲۰۱۸؛ فرد لزرجانی و همکاران، ۱۳۹۵ و محمدحسینی و همکاران، ۱۳۹۸) یکی از شناخته‌شده‌ترین و پرکاربردترین روش‌های شبیه‌سازی است که به دلیل سادگی و انعطاف‌پذیری زیاد، از آن بسیار استفاده می‌شود. روش SGS از دیدگاه ریاضی روش مطمئنی است، اما به دلیل

با توجه به نیاز روزافرون به منابع هیدروکربوری، تهیه مدل‌های پتروفیزیکی مطمئن ضروری است. در سال‌های اخیر، روش‌های زمین‌آماری (پیوست پ) همگام با پیشرفت و توسعه در سایر علوم، جایگاه ویژه‌ای در مهندسی مخازن هیدروکربوری پیدا کرده‌اند (دوین، ۲۰۰۷). یکی از راه‌های مدل‌سازی خصوصیات پتروفیزیکی، استفاده از مدل‌های سه‌بعدی مقاومت صوتی (acoustic impedance) است. مدل‌های مقاومت صوتی ابزار مهمی در توصیف و ارزیابی سایر ویژگی‌های پتروفیزیکی مانند نفوذپذیری و تخلخل هستند. ویژگی‌های استاتیک مخزنی اغلب با استفاده از مدل‌های پتروالاستیکی از مقاومت صوتی محاسبه می‌شوند. از روش‌های زمین‌آماری در محاسبه مدل‌های سه‌بعدی مقاومت صوتی نیز می‌توان استفاده کرد (صادقی و همکاران، ۲۰۱۹). در روش مذکور، این مدل‌ها با استفاده از نگارهای مقاومت صوتی در محل چاه‌ها تولید می‌شوند. مدل‌سازی مقاومت صوتی با استفاده از روش‌های زمین‌آماری به اندازه روش‌های وارون‌سازی لرزه‌ای مرسوم نیست، اما در میدان‌هایی که فاقد داده‌های لرزه‌ای هستند، استفاده از این روش‌ها اهمیت دوچندان می‌یابد. همچنین مدل‌های محاسبه‌شده با استفاده از این روش‌ها، حتی در صورت وجود داده‌های لرزه‌ای، توانایی استفاده و تلفیق در برخی از روش‌های وارون‌سازی زمین‌آماری لرزه‌ای را دارند (هاس و دوبرول، ۱۹۹۴؛ سوارز و همکاران، ۲۰۰۷ و ثابتی و همکاران، ۲۰۱۷).

در علم زمین‌آمار، ابزارهای متعددی جهت مدل‌سازی ساختارها و خصوصیات زیرسطحی وجود دارد. یکی از شناخته‌شده‌ترین ابزارها، روش‌های مبتنی بر واریوگرافی هستند که به نوبه خود به روش‌های قطعی تقسیم می‌شوند (deterministic) و تصادفی (stochastic). روش‌های قطعی مدل واحدی را تولید (دوبرول، ۲۰۰۳).

TBSim، نتایج این روش در محل چاه آزمایش بررسی و راستی آزمایی می‌شود. علاوه‌بر این، مدل‌های سه‌بعدی مقاومت صوتی نیز با نتایج وارون‌سازی لرزه‌ای مقایسه می‌شود. همچنین بررسی‌ها و مقایسه‌های آماری مختلفی روی نتایج انجام خواهد شد.

## ۲ روش شبیه‌سازی نوارهای دوار (TBSim)

ایده اصلی روش TBSim بر مبنای ساده‌سازی فرایند شبیه‌سازی یک مسئله در فضای دو یا سه بعدی به شبیه‌سازی در راستای تعدادی خطوط در فضای یک بعدی است. درنهایت، مقدار شبیه‌سازی در هر نقطه از فضای دو یا سه بعدی به صورت مجموع وزنی مقادیر شبیه‌سازی شده در راستای خطوط یک‌بعدی خواهد بود. اگر  $\{X(t), t \in \mathbb{R}\}$  میدان برداری تصادفی با میانگین صفر،  $C_X$  تابع کوواریانس پیوسته و  $U$  یک بردار تصادفی با توزیع یکنواخت در کره با شاعر واحد  $S^d$  باشد، رابطه میدان برداری تصادفی  $\{Y(x), x \in \mathbb{R}^d\}$  با میانگین ثابت و کوواریانس همسانگرد  $C_Y$  به صورت زیر است (امری و لاتخول، ۲۰۰۶):

$$\forall x \in \mathbb{R}^d, Y(x) = X(x.U), \quad (1)$$

که علامت نقطه بیانگر عملگر ضرب داخلی در  $\mathbb{R}^d$  است. رابطه کوواریانس همسانگرد میدان برداری  $Y$  نیز به صورت زیر محاسبه می‌شود (امری و لاتخول، ۲۰۰۶):

$$(C_Y(r) = \int_{S_d} C_X(h.u) \varpi_d(du), \quad (2)$$

که  $h$  برداری در  $\mathbb{R}^d$ ،  $r$  طول گام کوواریانس همسانگرد و  $\varpi_d$  توزیع یکنواخت بر کره  $S_d$  است.

رابطه (۲) در واقع نگاشتی یک به یک بین مجموعه نقاط کوواریانس پیوسته و همسانگرد در فضای  $\mathbb{R}^d$  و نقاط کوواریانس پیوسته در فضای  $R$  است. این ویژگی امکان شبیه‌سازی یک میدان تصادفی چندمتغیره با کوواریانس  $C_Y$  را با استفاده از شبیه‌سازی میدان‌های یک‌بعدی با کوواریانس  $C_X$  می‌دهد. رابطه (۲) را در مختصات کروی

نیاز به انجام کریجینگ در هر نقطه، روش کندی محسوب می‌شود. این روش برای داده‌های چندمتغیره نیاز به ساده‌سازی برخی از فرضیات مسئله دارد. همچنین این روش ممکن است قادر به بازتولید برخی ویژگی‌های اساسی زمین‌آماری مانند واریوگرام نباشد (نظری استاد و همکاران، ۲۰۱۸). روش شبیه‌سازی نوارهای دوار TBSim (Turning Bands Simulation) یا به اختصار، (Matronen، ۱۹۷۳؛ امری و لاتخول، ۲۰۰۶؛ آرویو و همکاران، ۲۰۱۷؛ ایز و همکاران، ۲۰۱۹ و صادقی و همکاران، ۲۰۱۹)، روشی قدرتمند و سریع است که در سال‌های اخیر کاربرد چشمگیری در مهندسی معدن و علوم زمین داشته است. به طور خلاصه، این روش با استفاده از شبیه‌سازی توابع سینوسی یک‌بعدی در راستای تعدادی خطوط تصادفی، یک فضای چندبعدی را شبیه‌سازی می‌کند. در سال‌های اخیر، گروههایی از پژوهشگران (پراورزر و همکاران، ۲۰۱۵ و نظری استاد و همکاران، ۲۰۱۸) عملکرد روش TBSim را در شبیه‌سازی خصوصیات زیرسطحی بررسی کرده‌اند. نتیجه این بررسی‌ها نشان می‌دهد نتایج شبیه‌سازی‌های حاصل از TBSim، ویژگی‌های زمین‌آماری مانند واریوگرام و بافت‌نگار را با دقت بهتری نسبت به روش‌های شبیه‌سازی متوالی بازتولید کرده است.

در این تحقیق، مدل‌سازی سه‌بعدی داده‌های مقاومت صوتی با استفاده از روش TBSim در یکی از میدان‌های نفتی جنوب غربی ایران اجرا و مدل‌های مقاومت صوتی محاسبه شده از این روش با نتایج وارون‌سازی لرزه‌ای مقایسه می‌شود. داده‌های مورد استفاده در این پژوهش شامل نگارهای مقاومت صوتی در هفت چاه میدان مذکور است که یکی از چاه‌ها جهت ارزیابی میزان صحت محاسبات و میزان همخوانی نتایج با مقادیر واقعی و نتایج وارون‌سازی لرزه‌ای از محاسبات کنار گذاشته شده است. پس از تهیه مدل‌های سه‌بعدی مقاومت صوتی به روش

است و این تابع یک توزیع احتمال خواهد بود. اگر  $\Omega$  متغیر تصادفی فرکانس با توزیع  $f(\omega)$  و  $\varphi$  متغیر تصادفی فاز با توزیع یکنواخت در بازه  $[0, 2\pi]$  باشد، آنگاه می‌توان نشان داد  $C(h) = \text{کوواریانس تابع } Y(x)$  برابر است با (لانتخول، ۲۰۰۲):

$$Y(x) = \sqrt{2} \cos(\Omega \cdot x + \varphi), \quad (5)$$

جهت محاسبه  $(x)$  به روش TBSim باید این تابع را بازنویسی کرد (لانتخول، ۲۰۰۲):

$$Y(x) = \sqrt{\frac{2}{N}} \sum_{i=1}^N \cos(\Omega_i \cdot x + \varphi_i), \quad (6)$$

بنابراین برای استفاده از روش طیفی، کافی است تابع  $f(\omega)$  و تعداد نقاط  $N$  مشخص باشد.  $f(\omega)$  در فضای  $d$  بعدی

به صورت زیر محاسبه می‌شود (لانتخول، ۲۰۰۲):

$$f(\omega) = \frac{1}{(2\pi)^d} \int e^{2\pi i \omega h} C(h) d(h), \quad (7)$$

اگر  $t$  زاویه خط  $D_t$  و  $s_t$  تصویر نقطه  $x$  بر خط  $D_t$  باشد،  $Y_t(s_t)$  مطابق رابطه (۵) یک تابع سینوسی خواهد بود (شکل ۱) و  $(x) Y$  مطابق رابطه (۶) از مجموع همین توابع حاصل می‌شود.

جهت شبیه‌سازی داده‌ها به روش TBSim، داده‌ها باید توزیع نرمال (گوسی) با میانگین صفر و انحراف معیار یک داشته باشند. پس از نرمال‌سازی داده‌ها و مدل‌سازی واریوگرام (محاسبه کوواریانس)، شبیه‌سازی غیرشرطی (non-conditional simulation) میدان گوسی انجام می‌شود. از آنجاکه ضرورت دارد نتایج تحقیق‌ها مقید به داده‌های موجود باشد، ابتدا تفاضل بین مقادیر واقعی و مدل‌شده در محل داده‌ها محاسبه و کریجینگ مقادیر حاصل به مقدار شبیه‌سازی شده در آن نقاط افزوده (conditional simulation) میدان گوسی  $Y$  را به صورت زیر می‌توان نوشت (امری و داسیلو، ۲۰۰۹):

$$Y_{CS}(x) = Y_S(x) + [Y(x) - Y_S(x)]^* \quad (8)$$

که اندیس‌های  $CS$  و  $S$  به ترتیب بیانگر شبیه‌سازی شرطی و

به صورت رابطه (۱) می‌توان بازنویسی کرد. این رابطه تابع کوواریانس  $C_X$  را بر حسب  $C_Y$  در فضای  $R^3$  محاسبه می‌کند (امری و لانتخول، ۲۰۰۶):

$$C_X(r) = \frac{d}{dr} [r C_Y(r)], \quad (1)$$

در روش TBSim اگر تعداد بردارهای تصادفی کم باشد، تحقق‌های نهایی بردار  $Y$ ، در راستای این بردارها نوعی ناهمسانگردی از خود نشان می‌دهند و پدیده‌های تصادفی تولید می‌کنند. برای حل این مشکل باید از تعداد زیادی بردار تصادفی استفاده شود. در این صورت بردار  $Y$  با رابطه زیر تعریف می‌شود (امری و لانتخول، ۲۰۰۶):

$$Y(x) = \frac{1}{\sqrt{N}} \sum_{i=1}^N X_i(x, U_i), \quad (2)$$

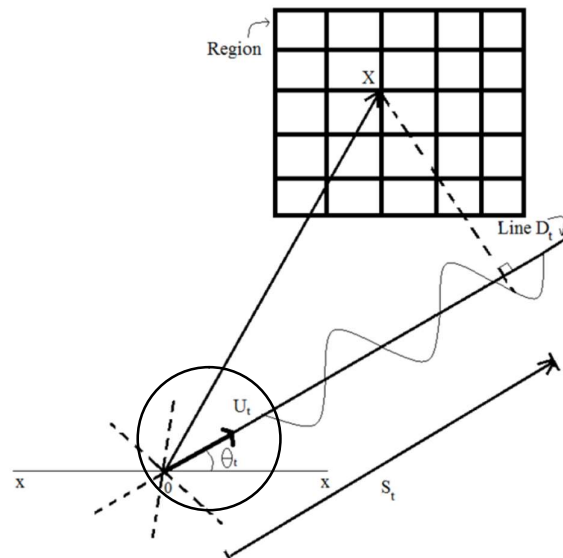
که  $\{U_i, i = 1, \dots, N\}$  جهت‌های مستقلی هستند که به طور تصادفی در کره  $S^2$  توزیع شده‌اند.  $\{X_i, i = 1, \dots, N\}$  نیز میدان‌های تصادفی یک‌بعدی با تابع کوواریانس  $C_X$  هستند.  $C_Y$ ، کوواریانس میدان برداری تصادفی به صورت زیر تعریف می‌شود. در این روش  $X \in R^3$ ،  $Y(x)$ ، با رابطه (۳) تعریف می‌شود. هنگامی که  $N$  به اندازه کافی بزرگ باشد، طبق قضیه حد مرکزی، رابطه (۳) مدل کوواریانس نظری را بازتولید می‌کند (امری و لانتخول، ۲۰۰۶):

$$C_Y(r) = \frac{1}{N} \sum_{i=1}^N C_X(h_i \cdot u_i), \quad (3)$$

پژوهشگران روش‌های متعددی را جهت شبیه‌سازی میدان تصادفی یک‌بعدی معرفی کرده‌اند. امری و لانتخول (۲۰۰۶) برای حل این مسئله از روش طیفی پیوسته استفاده کرده‌اند. در روش طیفی پیوسته، شبیه‌سازی یک‌بعدی با استفاده از توابع سینوسی انجام می‌شود. این روش بر مبنای نمایش طیفی ماتریس کوواریانس است. هر تابع کوواریانس پیوسته در فضای  $d$  را می‌توان به صورت تبدیل فوریه یک تابع مثبت نوشت (لانتخول، ۲۰۰۲):

$$C(h) = \int e^{-2\pi i \omega h} f(\omega) d(\omega), \quad (4)$$

از آنجایی که در روش TBSim داده‌ها نرمال‌سازی می‌شود از  $C(h) = \int e^{-2\pi i \omega h} f(\omega) d(\omega)$  است، مقدار انگرال تابع  $f(\omega)$  برابر عدد یک



شکل ۱. اساس روش TBSim در فضای دو بعدی. در این شکل  $u_t$  بردار یکه تصادفی است که با محور  $X$  زاویه  $\theta_t$  می‌سازد.  $D_t$  خط تصادفی متناظر با بردار یکه تصادفی،  $X$  موقعیت داده از مبدأ و  $s_t$  موقعیت جدید داده در راستای خط  $D_t$  است. تمامی نقاط تصویرشده در راستای خطوط با توابع سینوسی شبیه‌سازی می‌شوند. نتیجه نهایی، مجموع وزنی شبیه‌سازی‌های تک بعدی است (آرویو و امری، ۲۰۱۷).

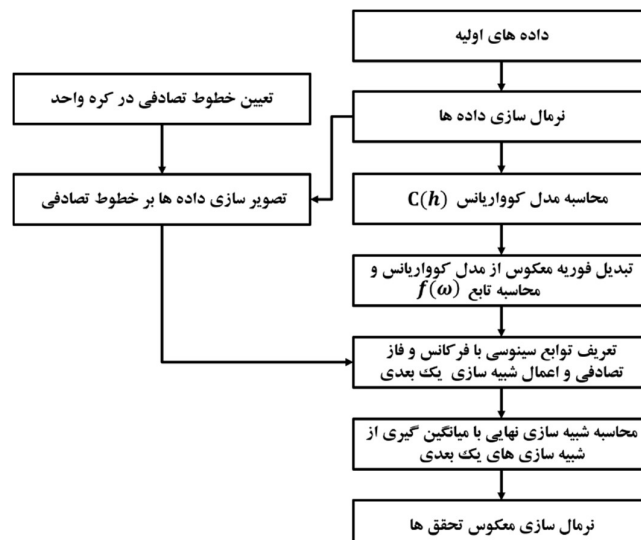
داده‌ها از فضای گوسي به فضای اولیه داده‌ها نیاز است.

شکل ۲ چارچوب کلی اعمال روش TBSim را نشان می‌دهد.

غیرشرطی هستند و ستاره، میان عملگر کریجینگ است.

تحقیق‌های حاصل از شبیه‌سازی باید توزیع آماری (بافت‌نگار) یکسانی با داده‌های اولیه تولید کنند.

به‌این منظور در آخرین مرحله شبیه‌سازی به غیرنرمال‌سازی



شکل ۲. چارچوب کلی اعمال روش TBSim

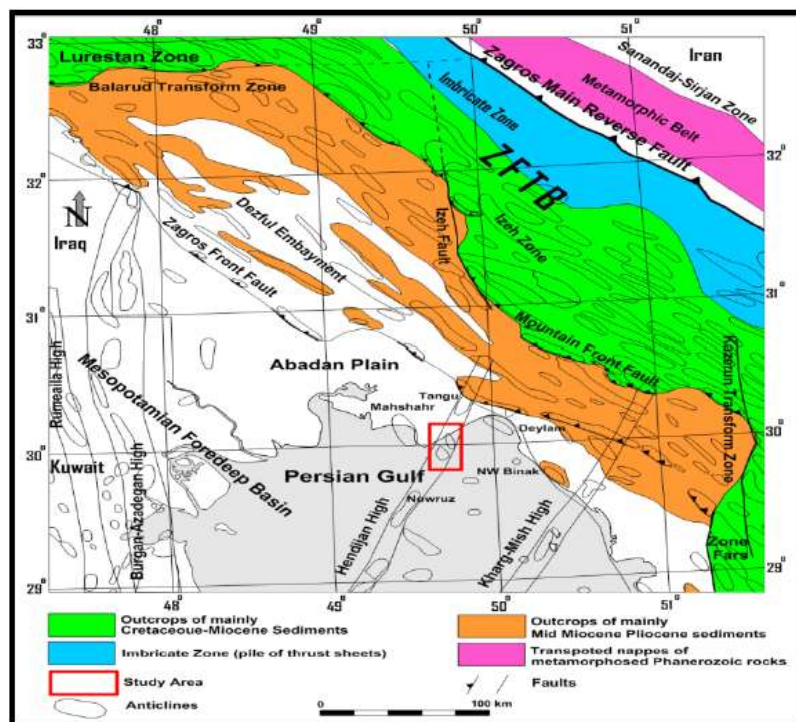
بیشتر شامل ماسه سنگ با میان لایه های شیل و در برخی بخش ها دولومیت است که به سه زیر لایه (زون) تقسیم بندی شده است که هر زیر لایه با یک لایه شیل نازک در قاعده از زیر لایه دیگر تفکیک می شود. بخش کربناته قاعده ای سازند آسماری نیز با یک ناپیوستگی از سازند جهرم جدا شده است. در قسمت شمالی خلیج فارس که شامل ناحیه مورد مطالعه نیز می شود، روند عمومی تاقدیس ها از جهت N-S و NNE-SSW به جهت NE-SW (عمود بر روند عمومی رشته کوه های زاگرس) تغییر یافته است (عبداللهی فرد و همکاران، ۲۰۰۶).

شکل ۳ نقشه زمین شناسی ساده شده از منطقه غربی رشته کوه های زاگرس را نشان می دهد که شامل میدان مورد مطالعه نیز هست.

### ۳ مطالعه موردنی

#### ۱-۳ زمین شناسی مخزن مورد مطالعه

در گستره خلیج فارس، میدان های هیدرو کربوری متعددی وجود دارد که سنگ های مخزنی آنها از بازه زمانی ژوراسیک میانی (middle Jurassic) (تا الیگو- میوسن Oligo-Miocene) را دربرمی گیرد. میدان مورد مطالعه در ناحیه شمال غرب خلیج فارس واقع شده است. ساختار این میدان شامل یک تاقدیس است که یال غربی آن با یک گسل امتداد لغز N-NE و S-SW برباده شده است. مخزن اصلی مورد مطالعه در این تحقیق، شامل بخش ماسه سنگی اهواز در قسمت فوقانی سازند آسماری است که معادل سازند غار در کویت است (حسرو تهرانی، ۱۳۸۹). مخزن ماسه سنگی اهواز



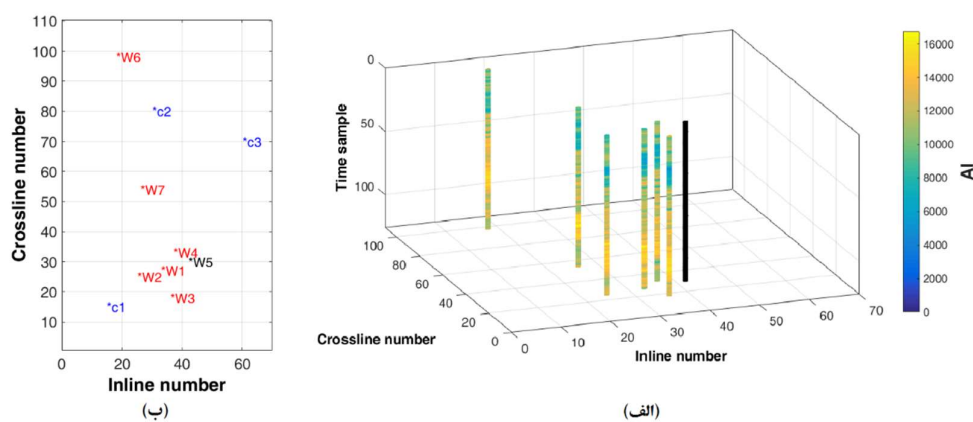
شکل ۳. نقشه زمین شناسی منطقه مورد مطالعه (گزارش زمین شناسی میدان نفتی مورد مطالعه).

افقی مدل نیز به گونه‌ای انتخاب شده است که کل تاقدیس میدان مذکور در محدوده مدل قرار بگیرد. درنهایت، محدوده بین سرسازند غار و سازند جهرم انتخاب شد و پس از ناحیه‌بندی و لایه‌بندی و تعیین ابعاد مناسب سلول‌ها در راستای افقی و قائم، مدل ساختمانی مناسب در این محدوده طراحی و ساخته شد.

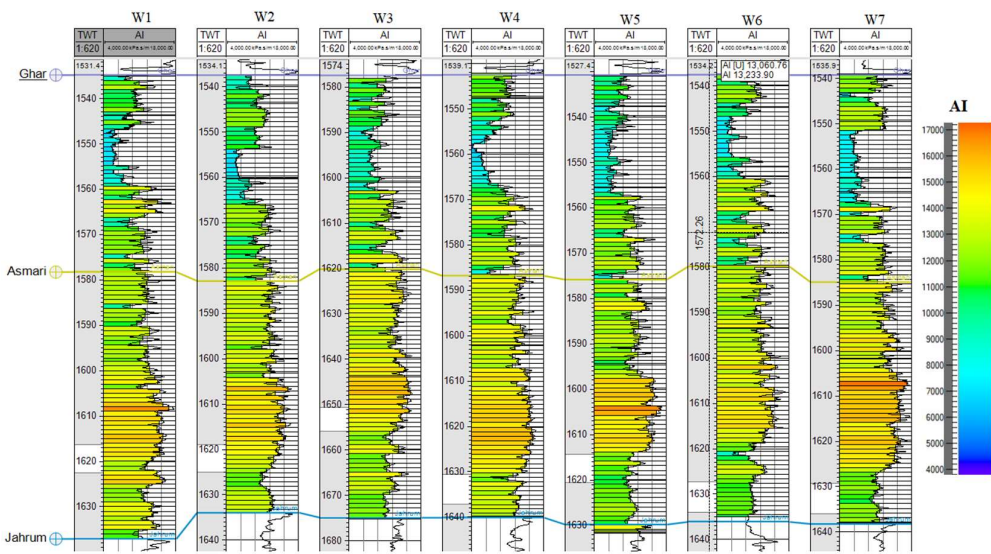
داده‌های استفاده شده در این مطالعه شامل هفت چاه از میدان مذکور است که نگار مقاومت صوتی دارند. جهت بررسی میزان دقت و درستی نتایج، داده‌های چاه W5 (چاه آزمایش) از محاسبات کنار گذاشته شده است. شکل ۴-۴ (الف و ۴-۴-ب) به ترتیب موقعیت سه‌بعدی و پلان افقی چاه‌های موجود را نشان می‌دهند. چاه آزمایش در این شکل‌ها به رنگ مشکی و چاه‌های تحلیل به رنگ قرمز نشان داده شده‌اند. چاه‌های آبی رنگ نیز سه چاه فرضی در مدل هستند که داده‌های مقاومت صوتی اولیه در آن نقاط موجود نبود و تنها جهت مقایسه تغییرات قائم مقاومت صوتی نتایج مدل‌سازی و وارونسازی از آن استفاده شده است. در شکل ۴-۴ (الف)، تغییرات قائم مقاومت صوتی در چاه‌های تحلیل به صورت رنگی نشان داده شده است. برای

## ۲-۳ آماده‌سازی داده‌ها و ساخت مدل ساختمانی

مدل ساختمانی در یک مخزن، شامل شبکه‌بندی سه‌بعدی است. این شبکه سه‌بعدی که قالب اصلی مدل است، امکان ساخت مدل‌های پتروفیزیکی، محاسبات حجمی رخساره‌ها و طراحی محل چاه را می‌دهد. پس از شبکه‌بندی مخزن، تمامی خصوصیات پتروفیزیکی در تمام حجم یک شبکه یکسان خواهد بود. خصوصیات پتروفیزیکی را می‌توان پس از درشت‌نمایی (up-scaling) اطلاعات چاه‌ها استخراج و در محل متناظر در مدل ساختمانی وارد کرد و درنهایت، با استفاده از روش‌های مدل‌سازی، یک شبکه سه‌بعدی دکارتی ساخته شده است که  $126 \times 110 \times 70$  سلول به ترتیب در راستاهای x، y و z دارد. ابعاد هر سلول در راستای افقی،  $100 \times 100$  متر و در راستای قائم، یک میلی ثانیه است. هدف ساخت مدل ساختمانی مذکور، مقایسه و مدل‌سازی تغییرات مقاومت صوتی در دو زیرلایه از سازند آسماری است که این دو زیرلایه، لیتولوژی و کیفیت مخزنی متفاوتی دارند. ابعاد



شکل ۴. (الف) نمای سه‌بعدی از مدل ساختمانی شبکه‌بندی شده و موقعیت چاه‌ها (ب) پلان افقی چاه‌ها. چاه آزمایش به رنگ مشکی، چاه‌های تحلیل به رنگ قرمز و چاه‌های فرضی به رنگ آبی نشان داده شده است.



شکل ۵. نمودار مقاومت صوتی درشت‌نمایی شده در چاه‌های تحلیل و آزمایش.

(تنک) است و با همامیخت موجک تخمینی با سری بازتاب تنک، داده‌های لرزه‌ای واقعی بازتولید می‌شود. به دلیل آنکه مقادیر مدل‌سازی شده در نقاط شیکه‌بندی شده محاسبه می‌شوند، برای مقایسه نتایج مدل‌سازی با نتایج وارونسازی لرزه‌ای باید داده‌های حاصل از وارونسازی را در نقاط شیکه‌بندی باز نمونه‌گیری (resampling) کرد. در بخش‌های بعد، تحقیق‌های مقاومت صوتی حاصل از اعمال روش TBSim با نتایج وارونسازی لرزه‌ای مقایسه می‌شود.

**۳-۳ اعمال روش TBSim**  
شکل ۶ چارچوب کلی مدل‌سازی سه‌بعدی مقاومت صوتی به روش TBSim را نشان می‌دهد. جهت مدل‌سازی داده‌ها به روش TBSim، داده‌های درشت‌نمایی شده مقاومت صوتی باید به توزیع گوسی با میانگین صفر و انحراف معیار یک نرمال‌سازی شوند. پس از نرمال‌سازی داده‌ها و محاسبه واریوگرام تجربی، مدل‌سازی واریوگرام انجام می‌شود. مدل‌سازی واریوگرام ابزار مناسبی برای

مشاهده بهتر و دقیق‌تر تغییرات مقاومت صوتی، نگارهای مقاومت صوتی درشت‌نمایی شده در چاه‌های موجود به همراه سرسازندهای غار، آسماری و جهرم در شکل ۵ نشان داده شده است. همان‌طور که مشاهده می‌شود، بخشی که مقاومت صوتی کم و متوسط دارد، مربوط به سازند غار و بخشی که مقاومت صوتی بیشتر از متوسط دارد، مربوط به بخش کربناته قاعده سازند آسماری است.

وارونسازی لرزه‌ای به روش خارهای پراکنده (sparse spikes) (اولدنبورگ و همکاران، ۱۹۸۳) پیش از این روی داده‌ها انجام شده است. این روش در زمرة روش‌های وارونسازی قطعی قرار می‌گیرد. روش‌های وارونسازی لرزه‌ای قطعی بر مبنای همامیخت موجک تخمینی با مدل بازتابی، مقایسه با داده لرزه‌ای و درنهایت، کمینه کردن اختلاف این دو بنا شده است. در روش وارونسازی خارهای پراکنده، از کمترین تعداد بازتابندهای جهت مدل کردن سری بازتاب استفاده می‌شود. در این روش فرض بر آن است که سری بازتاب لایه‌های زیرسطحی، پراکنده

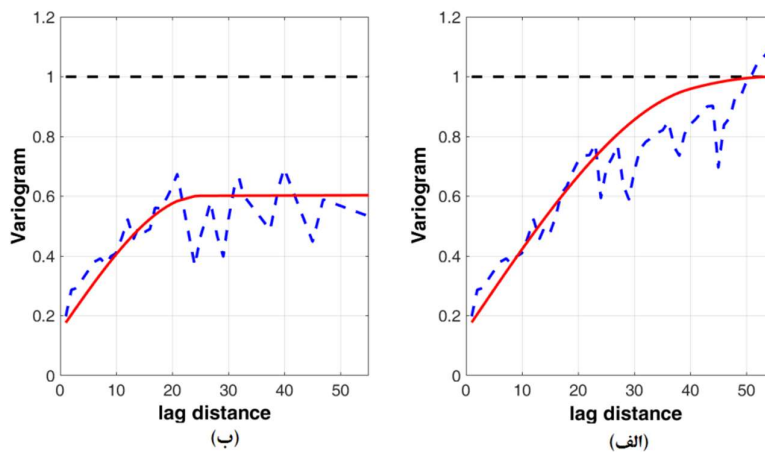
جدول ۱. ویژگی‌های مدل‌های واریوگرام نظری برآششده.

واریوگرام	قائم	افقی	اثر قطعه‌ای	ساختر ۱	دامنه	سقف	ساختر ۲	دامنه	سقف	واریوگرام
۰/۱۵				کروی	۲۵	۰/۴۵	کروی	۵۵	۰/۴۰	بینهایت
۰/۱۵				کروی	۴۰	۰/۴۵	کروی		۰/۴۰	

تووصیف تغییرات فضایی مقادیر مقاومت صوتی است. در این مدل‌سازی، نمونه‌های نزدیک به هم نسبت به نمونه‌های دورتر از هم تشابه بیشتری خواهند داشت. واریوگرام تجربی روی داده‌های درشت‌نمایی شده مقاومت صوتی در جهت افقی و قائم محاسبه و با مدل‌های مناسب برآشش شده است. واریوگرام‌های برآشش شده، واریوگرام‌هایی با دو ساختار کروی و یک اثر قطعه‌ای هستند که خصوصیات آنها خلاصه‌وار در جدول ۱ بیان شده است. همان‌طور که در شکل ۷ مشاهده می‌شود، برخلاف واریوگرام قائم، واریوگرام افقی به سقف یک نمی‌رسد. این موضوع نشان می‌دهد ناهمسانگردی از نوع ناحیه‌ای (zonal anisotropy) است. ناهمسانگردی ناحیه‌ای به حالتی گفته می‌شود که سقف واریوگرام در جهت‌های مختلف با هم برابر نشود. یکی از دلایل ایجاد ناهمسانگردی ناحیه‌ای می‌تواند تعداد کم داده‌ها باشد (پیرس و همکاران، ۲۰۰۶). در میدان‌های نفتی نیز که بیشتر چاه‌ها قائم هستند، اگر تعداد چاه‌ها کم باشد، به دلیل کمبود داده‌های اندازه‌گیری در راستای افقی، این پدیده اغلب مشاهده می‌شود. شایان ذکر است وجود ناهمسانگردی، جزوی از طبیعت داده‌ها (data nature) است و انتخاب مدل واریوگرام صحیح ضروری است؛ لذا در چنین مواردی، استفاده از واریوگرام‌های همسانگرد و تک‌جهتی معمولاً به نتایج نادرست می‌انجامد. در روش TBSim در صورت انجام واریوگرافی صحیح، با انتخاب بردارهای تصادفی به اندازه کافی، تحقق‌های تولیدشده، مدل واریوگرام اولیه و درنتیجه، توزیع فضایی (spatial)



شکل ۶. چارچوب کلی مدل‌سازی سه‌بعدی مقاومت صوتی به روش TBSim روی داده‌های واقعی.

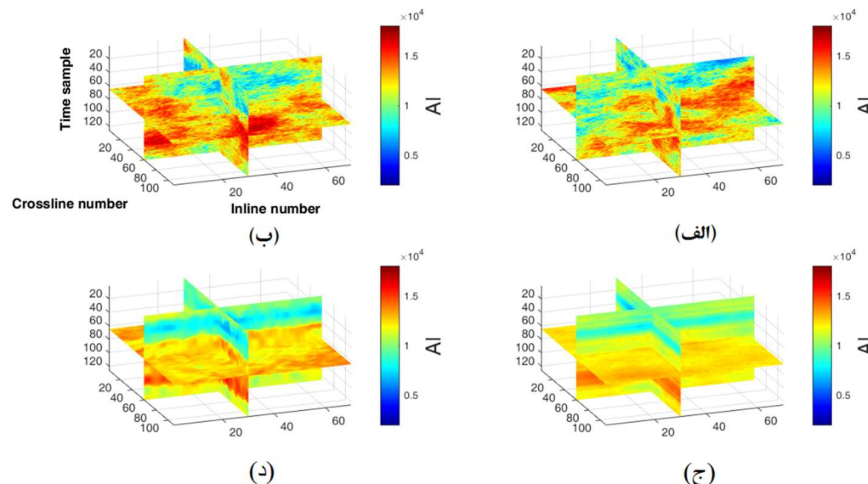


شکل ۷. (الف) واریوگرام قائم تجربی (آبی) و نظری برآنشده (قرمز) داده‌های مقاومت صوتی نرمال شده (ب) واریوگرام افقی تجربی (آبی) و نظری برآنشده (قرمز) داده‌های مقاومت صوتی نرمال شده. خط‌چین مشکل، واریانس داده‌های گوسی را نشان می‌دهد.

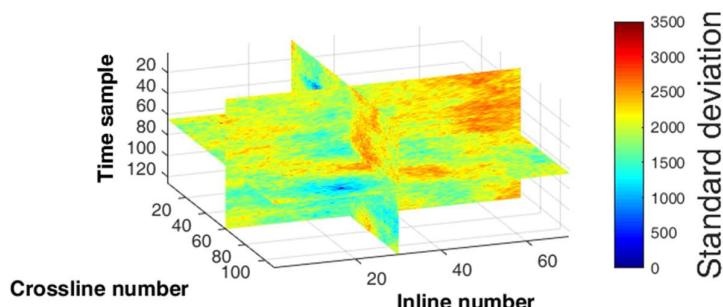
#### ۴-۳ نتایج

شماره‌های ۳۰ و ۶۰ و یک برش افقی از نمونه زمانی ۶۵ آم مدل سه بعدی جهت مشاهده تغییرات مقاومت صوتی نمایش داده شده است. طبق شکل ۸-الف و ۸-ب، تحقیقات مختلف، هر کدام به نحو متفاوتی داده‌های مقاومت صوتی را تخمین زده و محدوده با مقاومت صوتی کمتر (بخش غار) را از بخش با مقاومت صوتی بیشتر (بخش کربناته قاعده آسماری) جدا کرده‌اند.

در این بخش نتایج مدل‌سازی مقاومت صوتی به روش TBSim بررسی می‌شود. شکل ۸-الف تا ۸-د به ترتیب نتایج مدل‌سازی سه بعدی مقاومت صوتی دو تحقق با بیشترین میزان همبستگی در محل چاه آزمایش، میانگین تحقیقات و مکعب وارون‌سازی لرزه‌ای را نشان می‌دهند. در هر بخش از شکل ۸، دو برش قائم از inline (راستای یه خط) و crossline (راستای عمود به خط)



شکل ۸ نتایج مدل‌سازی سه بعدی مقاومت صوتی. (الف و ب) مکعب دو تحقق مقاومت صوتی با بیشترین میزان همبستگی در محل چاه آزمایش (ج) مکعب میانگین تحقیقات (د) مکعب وارون‌سازی لرزه‌ای



شکل ۹. مکعب انحراف معیار تحقیق‌ها.

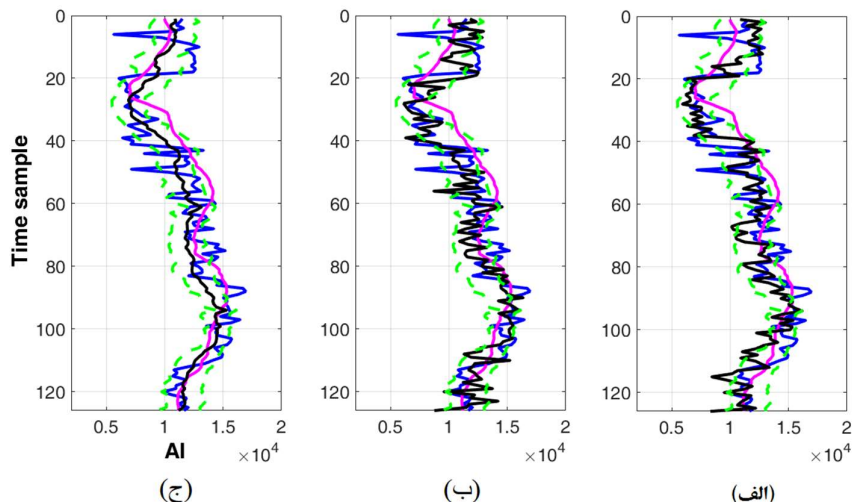
می‌تواند به علت ضخامت بیشتر این بخش و انحراف معیار اولیه کمتر مقادیر مقاومت صوتی در چاه‌ها تفسیر شود. شکل ۱۰-الف و ۱۰-ب نمودارهای مقاومت صوتی دو تحقیق با بیشترین میزان همبستگی با مقادیر واقعی در محل چاه آزمایش و شکل ۱۰-د میانگین تمامی تحقیق‌ها را نشان می‌دهد که همگی با مقادیر واقعی و نیز مقادیر حاصل از وارون‌سازی لرزه‌ای مقایسه شده‌اند. همان‌طور که مشاهده می‌شود، این تحقیق‌ها به خوبی روند تغییرات قائم مقاومت صوتی را مدل‌سازی کرده‌اند و با مقادیر وارون‌سازی لرزه‌ای همخوانی دارند. در این تحقیق‌ها بخش با مقاومت صوتی کم و همچنین بخش با مقاومت صوتی بیشتر با دقت مناسبی مدل‌سازی شده‌اند. میانگین تحقیق‌ها نیز تخمین هموارشده‌ای را از تغییرات قائم مقاومت صوتی نشان می‌دهد. اثر هموارشدنگی در محل مقادیر بیشینه و کمینه مقاومت صوتی بیشتر نمایان است. نمودار سبز رنگ در شکل ۱۰ نشان‌دهنده بازه عدم قطعیت نتایج است که عده مقادیر مدل‌سازی شده در این بازه قرار گرفته است. ضرایب همبستگی نمودارهای ترسیم شده در شکل ۱۰ با مقادیر واقعی مقاومت صوتی در محل چاه آزمایش در جدول ۲ بیان شده است. مطابق این جدول، بیشینه همبستگی مقادیر مقاومت صوتی تحقیق‌های مختلف با مقادیر واقعی در محل چاه آزمایش، ۷۸/۸ درصد و برای میانگین تحقیق‌ها، برابر ۸۲/۹ درصد است. از آنجایی که ضریب همبستگی تنها میزان همسو بودن

شکل ۸-ج و ۸-د به ترتیب مدل سه‌بعدی میانگین تمامی تحقیق‌ها و مکعب وارون‌سازی لرزه‌ای را نشان می‌دهند. مشاهده می‌شود که میانگین سه‌بعدی تحقیق‌ها، روند عمومی قائم و جانبی تغییرات امپدانس صوتی را به خوبی مدل‌سازی کرده است و همخوانی چشمگیری با مکعب وارون‌سازی لرزه‌ای دارد. مدل میانگین سه‌بعدی تحقیق‌ها، معادل نتیجه مدل‌سازی قطعی کریجینگ است و بنابراین تخمین هموارشده‌ای از مقادیر مقاومت صوتی ارائه کرده است.

همان‌طور که در مقدمه بیان شد، یکی از مزایای استفاده از روش‌های شبیه‌سازی زمین‌آماری، امکان تحلیل عدم قطعیت تحقیق‌های موجود است. به همین جهت انحراف معیار مقاومت صوتی ۵٪ تحقق موجود محاسبه شده است. شکل ۹ برش‌های مختلف از مکعب انحراف معیار تحقیق‌های مختلف را نشان می‌دهد. در این شکل کمینه مقدار انحراف معیار (عدم قطعیت کم) مربوط به نواحی نزدیک به چاه‌ها و بیشینه مقدار آن (عدم قطعیت زیاد) مربوط به لبه‌ها و فواصل دور از چاه‌های واریوگرام است. همچنین به دلیل تعداد محدود چاه‌ها، واریوگرام افقی ممکن است به خوبی تغییرات فضایی میدان گوسی را در راستای افقی پیش‌بینی نکرده باشد و درنتیجه، تغییرات جانبی مدل سه‌بعدی در فواصل دور، رفتار تصادفی بیشتری نسبت به فواصل نزدیک‌تر نشان دهد. مقادیر انحراف معیار در بخش قاعده‌ای کمی کمتر است که

تفکیک‌پذیری، دو تحقق مذکور تفکیک‌پذیری بیشتری نسبت به میانگین تتحقق‌ها دارند. همچنین میزان همبستگی مقاومت صوتی با مقدار حاصل از وارون‌سازی لرزه‌ای در محل چاه آزمایش برابر  $72/8$  درصد است.

تغییرات دو پارامتر را بیان می‌کند، ضرایب همبستگی بیان شده دور از انتظار نیست؛ زیرا میانگین تتحقق‌ها نوسانات محلی کمتری دارد و از لحاظ تغییرات روند کلی، همسویی بیشتری با مقادیر واقعی دارد، اما از لحاظ

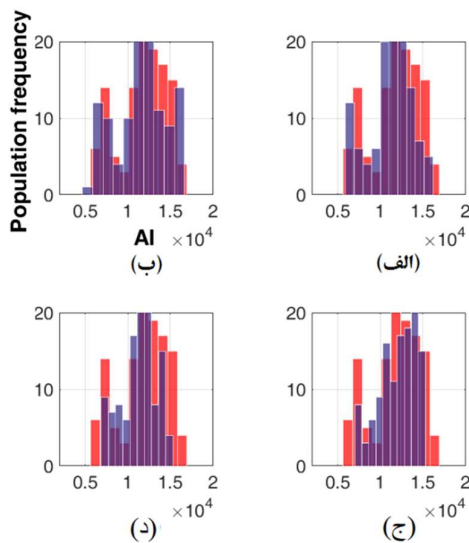


شکل ۱۰. مقایسه نتایج مدل‌سازی شده با مقادیر واقعی مقاومت صوتی و داده‌های وارون‌سازی لرزه‌ای در چاه آزمایش. (الف) و (ب) دو تحقق مختلف با بیشترین میزان همبستگی با مقادیر واقعی (ج) میانگین تتحقق‌ها. نمودارهای آبی، مشکی و صورتی به ترتیب مقاومت صوتی واقعی، مدل‌سازی شده و وارون‌سازی را نشان می‌دهند. نمودارهای سبز معرف بازه عدم قطعیت پاسخ‌ها هستند.

هموارشدنگی بیشتر و تغییرپذیری تصادفی کمتری (مقدار بیشینه و کمینه نزدیک‌تر به هم) را نشان می‌دهد. چون وارون‌سازی لرزه‌ای به روش خارهای پراکنده نیز در زمرة روش‌های قطعی محسوب می‌شود، این بافت‌نگار با بافت‌نگار میانگین تتحقق‌ها (معادل کریجنگ) مشابه‌تر بیشتری دارد. همان‌طور که دیده می‌شود، مشخصات آماری این بافت‌نگارها میانگین و انحراف معیار کمتری نسبت به مشخصات آماری بافت‌نگارهای داده‌های واقعی و نیز دو تحقق مذکور دارد. مشخصات آماری بافت‌نگارهای شکل ۱۱ در جدول ۲ بیان شده است.

شکل ۱۲-الف تا ۱۲-د به ترتیب بافت‌نگار مکعب‌های مقاومت صوتی دو تحقق بررسی شده در شکل

در شکل ۱۱ بافت‌نگار نتایج مدل‌سازی زمین‌آماری و نیز وارون‌سازی لرزه‌ای با بافت‌نگار داده‌های واقعی مقاومت صوتی در محل چاه آزمایش مقایسه شده است. مطابق این شکل، داده‌های واقعی مقاومت صوتی در محل چاه آزمایش، دو خوش‌با مقاومت صوتی کم و بیشتر از متوسط را تشکیل می‌دهند. به علت ماهیت تصادفی روش‌های شبیه‌سازی زمین‌آماری، تتحقق‌های مختلف هر کدام به نحوی بافت‌نگار داده‌های واقعی را بازتولید کرده‌اند. بافت‌نگار میانگین تتحقق‌ها نیز به خوبی بافت‌نگار مقاومت صوتی و دو خوش‌با مقاومت صوتی را بازتولید کرده است. همان‌طور که مشاهده می‌شود، بافت‌نگار میانگین تتحقق‌ها نسبت به بافت‌نگار دو تحقق مذکور،



شکل ۱۱. مقایسه بافت‌نگارهای مدل‌سازی زمین‌آماری و وارون‌سازی لرزه‌ای با بافت‌نگار داده‌های واقعی مقاومت صوتی در محل چاه آزمایش. (الف) و (ب) بافت‌نگار مقاومت صوتی مربوط به دو تحقیق ذکر شده در شکل ۱۰ (ج) بافت‌نگار میانگین تحقیق‌ها (د) بافت‌نگار داده‌های وارون‌سازی لرزه‌ای، بافت‌نگار قرمز متعلق به داده‌های واقعی و بافت‌نگار آبی مربوط به نتایج مدل‌سازی و وارون‌سازی لرزه‌ای است.

جدول ۲. مشخصات آماری بافت‌نگارهای نمایش داده شده در شکل ۱۱.

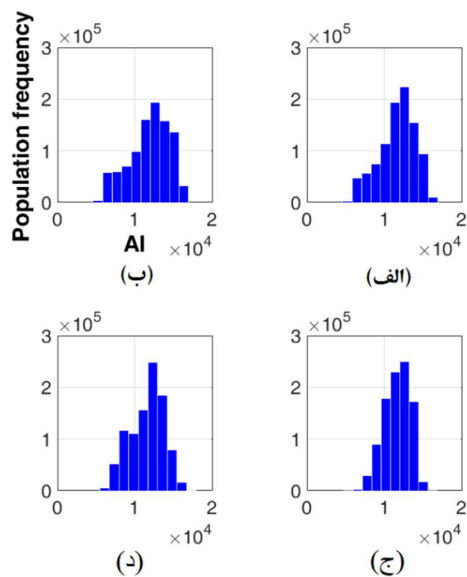
نوع داده	میانگین	انحراف معیار	ضریب همبستگی با مقاومت صوتی واقعی
مقاومت صوتی واقعی	۱/۱۸۲۹×۱۰۴	۲۷۸۸/۲	% ۱۰۰
مقاومت صوتی تحقیق شماره ۱	۱/۱۶۱۵×۱۰۴	۲۸۷۳/۲	% ۷۸/۸
مقاومت صوتی تحقیق شماره ۲	۱/۱۳۴۷×۱۰۴	۲۳۹۲/۳	% ۷۸/۳
مقاومت صوتی میانگین تحقیق‌ها	۱/۱۴۰۰×۱۰۴	۲۰۲۱/۵	% ۸۲/۹
مقاومت صوتی وارون‌سازی لرزه‌ای	۱/۲۰۷۹×۱۰۴	۲۲۱۴/۲	% ۷۳/۸

را به خوبی بازتولید کرده است. در جدول ۳ مشخصات آماری بافت‌نگارهای شکل ۱۲ بیان شده است. به علت تعداد کم و نزدیک به هم بودن چاه‌های تحلیل، مقادیر مدل‌سازی شده تحقیق‌ها در فواصل بیشتر از دامنه تأثیر

۸. میانگین تحقیق‌ها و داده‌های وارون‌سازی لرزه‌ای را نشان می‌دهند. مشاهده می‌شود که بافت‌نگارهای حاصل از مدل‌سازی، شباهت خوبی با بافت‌نگار داده‌های وارون‌سازی لرزه‌ای دارد و تغییرات کمی مقاومت صوتی

جدول ۳. مشخصات آماری بافت‌نگارهای نمایش داده شده در شکل ۱۲.

نوع داده	میانگین	انحراف معیار
مکعب مقاومت صوتی تحقیق شماره ۱	۱/۱۸۸۶×۱۰۴	۲۵۹۵/۴
مکعب مقاومت صوتی تحقیق شماره ۲	۱/۱۶۵۷×۱۰۴	۲۳۲۹/۲
مکعب مقاومت صوتی میانگین تحقیق‌ها	۱/۱۶۵۳×۱۰۴	۱۶۷۸/۴
مکعب مقاومت صوتی وارون‌سازی لرزه‌ای	۱/۱۶۰۷×۱۰۴	۲۲۱۴/۲



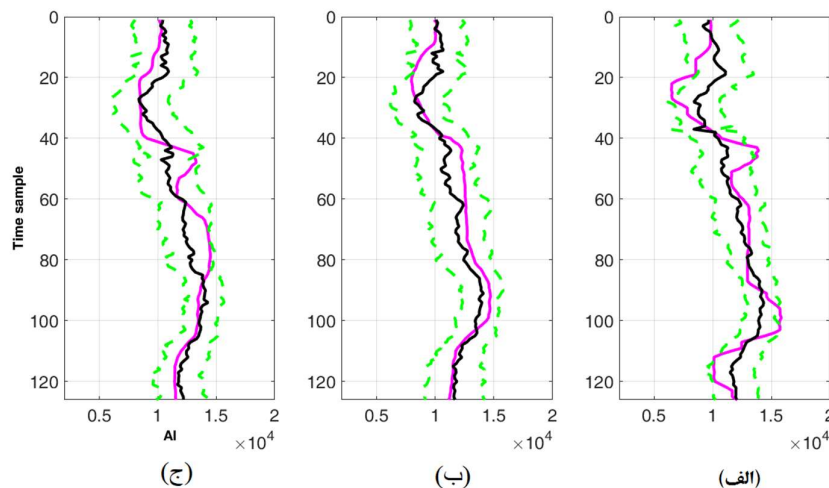
شکل ۱۲. مقایسه بافت نگار مکعب های مقاومت صوتی حاصل از مدل سازی با بافت نگار مکعب وارون سازی لرزه ای. (الف) و (ب) بافت نگار مکعب مقاومت صوتی مربوط به دو تحقیق ذکر شده در شکل ۱۰ (ج) بافت نگار مکعب مقاومت صوتی میانگین تحقیق ها (د) بافت نگار مکعب وارون سازی لرزه ای

سه چاه فرضی در مدل شبکه بندی شده استخراج و مقایسه شده است (شکل ۱۳). در این سه محل، میانگین تحقیق ها روند تغییرات را به خوبی تخیین زده و دنبال کرده است، اما در محل نقاط کمینه و بیشینه تغییرات مقاومت صوتی (مثل لایه ماسه سنگی یا برخی از قسمت های بخش کربناته) از نمودار وارون سازی لرزه ای فاصله گرفته است. با توجه به نتایج می توان اذعان کرد که مدل سازی مقاومت صوتی نمی تواند جایگزین حتمی وارون سازی لرزه ای باشد، اما می توان از آن به عنوان یک روش اولیه و سریع در تخمین مقاومت صوتی استفاده کرد. در وارون سازی لرزه ای وجود نوافه های تصادفی در داده های لرزه ای چه در استخراج موجک و چه در حل معادلات وارون سازی تأثیرگذار است و معادلات را ناپایدار می کند به گونه ای که بسیاری از روش های منظم سازی جهت حل این مشکل توسعه یافته اند. این در حالی است که روش های زمین آماری پیچیدگی محاسباتی کمتری دارند و کمتر از این مسئله تأثیر می پذیرند. نوافه های تصادفی بر

واریوگرام افقی، حالت تصادفی تری دارند که به نوبه خود باعث افزایش میانگین و انحراف معیار نتایج شده است. همچنین بافت نگارهای میانگین تحقیق ها و وارون سازی لرزه ای به علت هموار سازی داده ها مقدار بیشینه و کمینه نزدیک تر به هم و درنتیجه، انحراف معیار کمتری دارند.

#### ۴ بحث

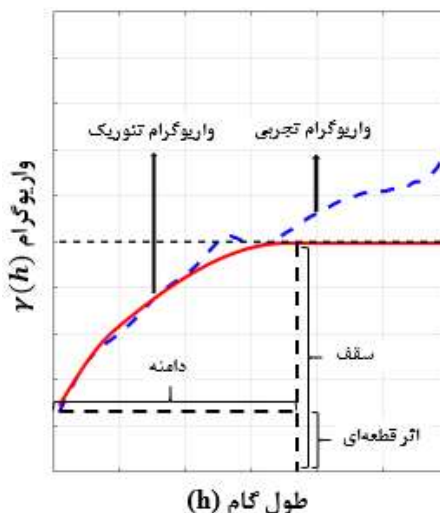
همان طور که در شکل ۸-ج و ۸-د مشاهده می شود، مکعب میانگین تحقیق ها همخوانی مناسبی با مکعب وارون سازی لرزه ای دارد و روند غالب تغییرات قائم و افقی مقاومت صوتی را باز تولید کرده است. نگاه موشکافانه تر به این مکعب ها این نکته را آشکار می سازد که روش وارون سازی لرزه ای، دامنه تغییرات عمقی و جانبی عددی بیشتری نسبت به میانگین تحقیق ها از خود نشان داده است. این موضوع می تواند به دلیل تعداد کم چاه ها و داده های اولیه و همچنین ماهیت میانگین گیری باشد. جهت بررسی و مقایسه دقیق تر تغییرات عمقی میانگین تحقیق ها و داده های وارون سازی لرزه ای، نتایج در



شکل ۱۳. مقایسه تغییرات عمقی میانگین تحقق‌های مقاومت صوتی با داده‌های وارون‌سازی لرزه‌ای در سه چاه فرضی (الف)  $C_1$  (ب)  $C_2$  و (ج)  $C_3$ . نمودارهای مشکی و صورتی به ترتیب مقاومت صوتی میانگین تحقیق‌ها و وارون‌سازی لرزه‌ای را نشان می‌دهند. نمودارهای سبز معرف بازه عدم قطعیت پاسخ‌ها هستند.

بیشتر و میزان قطعیت زیادتر، استفاده از داده‌های لرزه‌ای در روش‌های زمین‌آماری با بهره‌گیری از روش‌های شبیه‌سازی اشتراکی است، استفاده از داده‌های لرزه‌ای در روش TBSim جهت تولید مدل‌های سه‌بعدی مقاومت صوتی و سایر خصوصیات پتروفیزیکی مطلوب خواهد بود (صادقی و همکاران، ۲۰۱۹).

اثر قطعه‌ای و برد واریوگرام تأثیر می‌گذارند، اما اگر این نوفه‌ها شدید نباشند، بر واریوگرام برآذش شده اثر چندانی ندارند و نتایج از نوفه تأثیر نمی‌پذیرند. روش‌های ندارند و از جمله روش TBSim، توانایی استفاده از مدل‌سازی و شبیه‌سازی اشتراکی (co-simulation) را نیز دارند. از آنجاکه یکی از راه‌های نیل به نتایج با جزئیات



شکل ۱۴. نمودار یک واریوگرام فرضی همراه با نمایش ویژگی‌های مختلف آن. خط‌چین آبی، واریوگرام تجربی و خط ممتدا قرمز، واریوگرام نظری برآذش شده بر آن را نشان می‌دهد.

مقایسه نیز حکایت از تطابق بافت‌نگارها داشت. نتایج تحلیل عدم قطعیت تحقیق‌های موجود نیز حکایت از قطعیت زیاد نتایج بهویژه در نواحی نزدیک به چاهها داشت. با توجه به موارد مطرح شده و نتایج امیدوارکننده، استفاده از این روش در مدل‌سازی مقاومت صوتی و سایر پارامترهای پتروفیزیکی مخزنی توصیه می‌شود.

### پیوست پ

مرواری بر برخی از مباحثت پایه زمین‌آمار در زمین‌آمار، تابعی که ارتباط مکانی بین نقاط را تعیین می‌کند واریوگرام نامیده می‌شود. با فرض پایایی ذاتی می‌توان واریوگرام را فرمول‌بندی کرد. فرض پایایی ذاتی به این معنی است که اولًاً امید ریاضی متغیر ناحیه‌ای ( $Z(x)$ ) به مختصات بستگی نداشته باشد. در این حالت مقدار این امید ریاضی برابر با مقدار میانگین متغیر ( $Z(x)$ ) است. ثانیاً به ازای هر مقدار از فاصله  $h$ ، عبارت  $[Z(x+h) - Z(x)]$  را سمی واریانس معنی داشته باشد که به مختصات بستگی نداشته باشد، بلکه تابعی از  $h$  باشد. مقدار  $\gamma(h)$  را سمی واریوگرام (semi-variogram) می‌نامند که در بسیاری از منابع علمی همان واریوگرام به آن می‌گویند. در این نوشتار نیز منظور از واریوگرام همین است. این مقدار به صورت زیر محاسبه می‌شود (وکرناگل، ۲۰۰۳):

$$\gamma(h) = \frac{1}{2N(h)} \sum_{i=1}^{N(h)} (Z(x_i+h) - Z(x_i))^2 \quad (P-1)$$

که  $N(h)$  تعداد نقاطی است که به فاصله  $h$  از یکدیگر قرار دارند. در رابطه فوق مقدار فاصله  $h$  را طول گام می‌نامند. هریک از مقادیر محاسبه شده واریوگرام به همراه مقدار  $h$  آن، نقطه‌ای را در دستگاه مختصات  $h$  و  $\gamma(h)$  مشخص می‌کند. با برازش یک مدل به این نقاط (واریوگرام تجربی)، منحنی واریوگرام نظری به دست می‌آید که ویژگی‌های آن عبارت‌اند از (شکل ۱۴):

(۱) اثر قطعه‌ای: از دیدگاه نظری، مقدار واریوگرام در گام

### ۵ نتیجه‌گیری

در این تحقیق مدل‌سازی سه‌بعدی مقاومت صوتی با استفاده از روش TBSim انجام پذیرفت. داده‌های مورد استفاده در این تحقیق شامل نگارهای مقاومت صوتی هفت چاه از یکی از میدان‌های جنوب غربی ایران است که جهت ارزیابی صحت نتایج، یکی از چاهها با عنوان چاه آزمایش از محاسبات کار گذاشته شد. پس از ساخت مدل ساختمانی و درشت‌نمایی نگارهای مقاومت صوتی در آن، تعداد ۵۰ تحقق از مقاومت صوتی در مدل شبکه‌بندی شده محاسبه شد. مقادیر محاسبه شده مقاومت صوتی با مقادیر واقعی و نیز مقادیر حاصل از وارون‌سازی لرزه‌ای در محل چاه آزمایش مقایسه و مقدار همبستگی این داده‌ها محاسبه شد. میزان بیشینه همبستگی مقادیر مقاومت صوتی تحقیق‌های مختلف در محل چاه آزمایش با مقادیر واقعی برابر با  $78/8$  درصد، برای میانگین تحقیق‌ها برابر  $82/9$  درصد و برای داده‌های وارون‌سازی لرزه‌ای  $72/8$  درصد محاسبه شد. همچنین جهت بررسی و مقایسه دقیق‌تر تغییرات عمقی میانگین تحقیق‌ها و داده‌های وارون‌سازی لرزه‌ای، نتایج در سه چاه فرضی در نقاط مختلفی از مدل شبکه‌بندی شده استخراج و مقایسه شد که نتایج میانگین تحقیقاً علی‌رغم تعداد کم داده‌های اولیه، همخوانی خوبی با داده‌های وارون‌سازی داشت. بافت‌نگارهای مقاومت صوتی دو تحقق مختلف با میزان بیشینه همبستگی در محل چاه آزمایش و بافت‌نگار میانگین تحقیقاً در محل چاه آزمایش ترسیم و با بافت‌نگار داده‌های واقعی و بافت‌نگار داده‌های وارون‌سازی لرزه‌ای مقایسه شد. تمامی بافت‌نگارها با بافت‌نگار داده‌های واقعی و وارون‌سازی لرزه‌ای مطابقت داشتند و رفتار آماری آنها را بازتولید کردند. همچنین بافت‌نگارهای مکعب‌های مقاومت صوتی تحقیق‌های مذکور و نیز بافت‌نگار مکعب میانگین تحقیقاً ترسیم و با بافت‌نگار مکعب وارون‌سازی لرزه‌ای مقایسه شدند که این

ناحیه‌ای ( $Z(x)$ ) است. جهت سهولت محاسبات، در بسیاری از روش‌های زمین‌آماری از رابطه کوواریانس به جای واریوگرام استفاده می‌شود.

#### منابع

- خسرو‌تهرانی، خ.، ۱۳۸۹، چینه‌شناسی ایران: انتشارات دانشگاه تهران، چاپ سوم، تهران، ایران.
- فرد لزرجانی، س.، کمالی، م. ر.، کدخدایی، ع.، صبحی، ق.، ۱۳۹۵، مدل‌سازی سه‌بعدی تخلخل با استفاده از روش شبیه‌سازی گوسی متوالی در یکی از میدانین نفتی خلیج فارس: پژوهش نفت، ۸۷، ۸۸-۹۵.
- محمدحسینی، م.، طباطبایی، ه.، عمرانی، م.، توکلی، م.، ۱۳۹۸، مدل‌سازی سه‌بعدی تراکم شکستگی‌ها با استفاده از اطلاعات نشانگرهای لرزه‌ای سه‌بعدی و نمودارهای تصویرگر در یکی از میدانین نفتی ایران: اکتشاف و تولید نفت و گاز، ۱۶۴، ۴۵-۵۱.
- Abdollahie Fard, I., Braathen, A., Mokhtari, M., and Alavi, S. A., 2006, Interaction of the Zagros fold-thrust belt and the Arabian-type, deep-seated folds in the Abadan plain and the Dezful embayment, SW Iran: Petroleum Geoscience, **12**, 347–362.
- Arroyo, D., and Emery, X., 2017, Spectral simulation of vector random fields with stationary Gaussian increments in d-dimensional Euclidean spaces: Stochastic Environmental Resources Risk Assessment, **31**, 1583–1592.
- Deutsch, C. V., and Journel, A. G., 1998, GSLIB: Geostatistical Software Library and User's Guide: Oxford University Press, New York.
- Doyen, P., 2007, Seismic Reservoir Characterization: An Earth Modelling Perspective (EEET 2): EAGE.
- Dubrule, O., 2003, Geostatistics for seismic data integration in earth

صفر ( $h=0$ ) باید به کمترین مقدار خود یعنی صفر تنزل کند، ولی در عمل، واریوگرام‌های واقعی معمولاً از چنین شرطی تعیت نمی‌کنند. به مقدار واریوگرام در گام صفر، اثر قطعه‌ای گفته می‌شود. مؤلفه‌های تصادفی در توزیع متغیر و خطاهای نمونه‌برداری موجب پیدایش اثر قطعه‌ای می‌شوند؟

- (۲) دامنه: با افزایش فاصله زمانی یا مکانی بین نمونه‌ها، از یک گام خاص به بعد، متغیرهای ناحیه‌ای در نقاط نزدیک به هم، دیگر تأثیر چندانی بر هم ندارند و با افزایش طول گام، مقدار واریوگرام تغییر معنی‌داری نمی‌کند. به این فاصله دامنه یا شعاع تأثیر می‌گویند. بدیهی است که دامنه تأثیر بزرگ‌تر دلالت بر ساختار فضایی گسترده‌تر دارد؛
- (۳) سقف واریوگرام: با افزایش  $h_1$ ، مقدار هر واریوگرام از مقادیر کم شروع می‌شود و اغلب به سمت حد ثابتی میل می‌کند. به این مقدار ثابت که تغییرات آن تصادفی است، سقف واریوگرام گفته می‌شود.

هنگامی که شرط پایایی مرتبه دوم در داده‌ها برقرار باشد، رابطه واریوگرام را می‌توان بر اساس تابع کوواریانس نوشت. فرض پایایی مرتبه دوم به این معناست که اولاً امید ریاضی متغیر ناحیه‌ای ( $Z(x)$ ) به مختصات بستگی نداشته و برابر با مقدار میانگین ( $Z(x)$ ) باشد. ثانیاً کوواریانس متغیر تصادفی در دو نقطه مختلف تنها تابعی از فاصله  $h$  دو نقطه باشد. با توجه به شرایط فوق می‌توان نوشت (وکرناگل، ۲۰۰۳):

$$\gamma(h) = C(0) - C(h), \quad (2-p)$$

که در رابطه فوق

$$(p-3)$$

$$C(h) = E[(Z(x+h) - m)(Z(x) - m)]C(0) =: \\ Var[Z(x)]m = E[Z(x)] \\ \text{که } E \text{ و } Var \text{ به ترتیب میان عملگر امید ریاضی واریانس} \\ \text{هستند. با توجه به رابطه (p-3) مجموع تابع واریوگرام و} \\ \text{کوواریانس در هر فاصله } h, \text{ ثابت و برابر واریانس متغیر}$$

- models: SEG/EAGE distinguished instructor short course.
- Emery, X., and Lantuéjoul, C., 2006, TBSIM: a computer program for conditional simulation of three-dimensional Gaussian random fields via the turning bands method: *Computers & Geosciences*, **32**(10), 1615–1628.
- Emery, X., and Silva, D. A., 2009, Conditional co-simulation of continuous and categorical variables for geostatistical applications: *Computers & Geosciences*, **35**(6), 1234–1246.
- Eze, P. N., Madani, N., and Adoko, A. C., 2019, Multi-variate mapping of heavy metals spatial contamination in a Cu–Ni exploration field (Botswana) using turning bands co-simulation algorithm: *Natural Resources Research*, **28**(1), 109–124.
- Francis, A., 2006, Understanding stochastic inversion: part 1, *First Break*, **24**, 69–77.
- Haas, A., and Dubrule, O., 1994, Geostatistical inversion: A sequential method of stochastic reservoir modeling constrained by seismic data: *First Break*, **12**, 561–569.
- Lantuéjoul, C., 2002, *Geostatistical Simulation, Models and Algorithms*: Springer-Verlag, Berlin, 256 p.
- Matheron, G., 1973, The intrinsic random functions and their applications: *Advances in Applied Probability*, **5**, 439–468.
- Nazari Ostad, M., Emami Niri, M., and Darjani, M., 2018, 3D modeling of geomechanical elastic properties in a carbonates and stone reservoir: A comparative study of geostatistical co-simulation methods: *Journal of Geophysics and Engineering*, **15**(4), 1419–1431.
- Nussbaumer, R., Mariethoz, G., Gravey, M., Gloaguen, E., and Holliger, K., 2018, Accelerating sequential Gaussian simulation with a constant path: *Computers & Geosciences*, **112**, 121–132.
- Oldenburg, D.W., Scheuer, T., and Levy, S., 1983, Recovery of the acoustic impedance from reflection seismograms: *Geophysics*, v. **48**, 1318–1337.
- Paravarzar, S., Emery, X., and Madani, N., 2015, Comparing sequential Gaussian and turning bands algorithms for cosimulating grades in multi-element deposits: *Comptes Rendus Geoscience*, **347**, 84–93.
- Pyrcz, M. J., Gringarten, E., Frykman, P., and Deutsch, C. V., 2006, Representative input parameters for geostatistical simulation, in Coburn, T. C., Yarus, J. M., and Chambers, R. L, eds., *Stochastic Modeling and Geostatistics: Principles, Methods, and Case Studies, Volume II*: American Association of Petroleum Geologists, **5**, Tulsa-Oklahoma.
- Sabeti, H., Moradzadeh, A., Doulati Ardejani, F., Azevedo, L., Soares, A., Pereira, P., and Nunes, R., 2017, Geostatistical seismic inversion for non-stationary patterns using direct sequential simulation and co-simulation: *Geophysical Prospecting*, **65**(1), 25–48.
- Sadeghi, M., Amini N., Falahat, R., Sabeti, H., and Madani, N., 2019, 3D Acoustic impedance modeling using turning bands co-simulation and linear multi-attribute transform: 81st EAGE Conference and Exhibition, London.
- Soares, A., Diet, J. D., and Guerreiro, L., 2007, Stochastic inversion with a global perturbation method: EAGE Petroleum Geostatistics, Cascais, Portugal, 10–14.

Wackernagel, H., 2003, Multi-Variate Geostatistics: An Introduction with Applications: Springer, Berlin, Heidelberg.

## 3D Acoustic impedance modeling using turning bands simulation method in an oil field in SW of Iran

Mehdi sadeghi <sup>1</sup>, Navid Amini <sup>2\*</sup>, Reza Falahat <sup>3</sup>, Naser Madani <sup>4</sup> and Hamid Sabeti <sup>5</sup>

<sup>1</sup>*Ph.D Student, Institute of Geophysics, University of Tehran, Tehran, Iran*

<sup>2</sup>*Researcher, CoCoLink (Subsidiary of Seoul National University), South Korea*

<sup>3</sup>*Assistant Professor, Sahand University of Technology, Tabriz, Iran*

<sup>4</sup>*Assistant Professor, School of Mining and Geosciences, Nazarbayev University, Nur-Sultan city, Kazakhstan*

<sup>5</sup>*Assistant professor, Department of Mining Engineering, Birjand University of Technology, Birjand, Iran*

(Received: 25 October 2020, Accepted: 21 January 2021)

### Summary

Petrophysical reservoir properties are usually estimated from elastic properties such as acoustic impedance (AI) using petro-elastic models. AI data are only available at sparse well locations, especially in early exploration stages of oil fields and therefore to quantify the spatial reservoir properties, it is necessary to estimate the AI for the rest of the reservoir area. Alongside the deterministic seismic inversion methods, multi-realization geostatistical simulation approaches can be used for the parameter estimations and uncertainty quantification. Geostatistical simulation methods allow the production of two- or three dimensional models of reservoir properties using existing well log data. Conventionally, sequential Gaussian simulation (SGS) method is used because of its simplicity. However, its accuracy is not always guaranteed. Nowadays, turning bands simulation method (TBSim) has received much attention because of its capability to reproduce the statistical properties of the original data. The main principle behind the TBSim is simplifying a multi-dimensional geostatistical simulation problem into a set of fast 1D simulation problems. The simulations are performed along the uniformly distributed lines spanning a unit sphere using sinusoid functions.

In this study, we are going to generate 3D AI models in an oil field in SW of Iran via the TBSim. We will also compare the results with the AI data computed from seismic inversion. Geostatistical modeling has less computational complexity than seismic inversion. Although AI modeling cannot be used as a definite alternative to seismic inversion, it can be used as a primary method for estimating AI, especially in areas without seismic data. It also has the capability to be involved with some seismic inversion methods known as stochastic seismic inversion methods. The dataset used in this study includes AI logs of seven wells, one of which (known as test well) has been excluded from calculations to check the accuracy of the results. The study reservoir zone includes the Ahwaz sandstone member in the upper part of Asmari formation and also the lower carbonates. The lower carbonates of Asmari formation are separated by an unconformity with Jahrum formation. After constructing the structural model and upscaling the AI logs in it, 50 realizations of AI are generated in the gridded model. The results in the test well indicate a high correlation between the modeled values and real AI data as well as the model obtained by seismic inversion. The maximum correlation of AI values of different realizations with real values in the test well equals to 78.8%. The correlation coefficient achieves to 82.9 % for mean of realizations and is 72.8% for seismic inversion data. The cube of mean of realizations is also in good agreement with the seismic inversion cube and reproduces the dominant trend of vertical and lateral AI variations. Comparison of results histogram with real data as well as the seismic inversion data reveals the capability of geostatistical AI modeling in reproducing the statistical properties of original data. In addition, the results of the uncertainty analysis of produced models also confirm the reliability of these models, especially in the test well. Therefore, we would recommend the TBSim as a powerful method for AI modeling during reservoir characterization.

**Keywords:** Acoustic impedance modeling, turning bands simulation, geostatistical simulation, variogram

\*Corresponding author:

navidamini@cocolink.co.kr